

# آنالیز کاهش تولید $\text{NO}_x$ در محفظه احتراق با سوخت گازی به کمک پاشش آب

ناصر سراج مهدیزاده<sup>\*</sup>، صادق تابع جماعت<sup>†</sup> و مستانه یاشینی<sup>‡</sup>

دانشکده مهندسی هواپیما، دانشگاه صنعتی امیرکبیر

## چکیده

امروزه، تلاش‌های زیادی در جهت کاهش نشر  $\text{NO}_x$  توربین‌های گازی صورت می‌گیرد. نشر  $\text{NO}_x$  به شدت به دمای شعله بستگی دارد. تزریق آب با بخار دمای پیک را کاهش می‌دهد و به دنبال آن نشر  $\text{NO}_x$  هم کم می‌شود. در این مقاله، بعد از مدل‌سازی محفظه احتراق موردنظر، بخار با نسبت‌های بخار به سوخت ۰/۵ و ۱ به محفظه پاشیده شده تأثیر آن روی کاهش نشر  $\text{NO}_x$  بررسی شود. از نرم‌افزار فلئونت (FLUENT) برای حل میدان جریان استفاده شده است. با پاشش بخار مشاهده شده که  $\text{NO}_x$  به طور چشمگیری کاهش یافته، اما نشر  $\text{CO}$  افزایش یافته است.

**واژه‌های کلیدی:** محفظه احتراق،  $\text{NO}_x$ . تحلیل جریان، پاشش بخار با آب

## NO<sub>x</sub> Reduction Analysis in Fuel Gas Combustion Chamber Using Water Injection

Nasser Seraj Mehdizadeh, Sadegh Tabe Jamaat, Mastaneh Yashini  
Aerospace Eng. Department, Amirkabir Univ. of Technology

### ABSTRACT

Nowadays, a great deal of efforts are being carried out to reduce NO<sub>x</sub> emission in gas turbines. NO<sub>x</sub> emission depends closely on the flame temperature. Water or steam injection reduces the peak temperature and NO<sub>x</sub> emission. In this paper, after modeling the combustion chamber, steam, with steam to fuel ratios of 0.5 and 1, is injected into the chamber and its effect on the NO<sub>x</sub> emission reduction is studied. The FLUENT software is used for solving the related reactive flow. It is concluded that, NO<sub>x</sub> emission decreases considerably, but CO emission increases.

**Key Words:** Combustion Chamber, NO<sub>x</sub>, Flow Analysis, Steam or Water Injection

## مقدمه

$$\frac{\partial u_i}{\partial x_i} = 0 \quad . \quad (1)$$

ممنتم:

$$\rho \frac{Du_i}{Dt} = - \frac{\partial p}{\partial x_i} + \frac{\partial}{\partial x_i} \left[ \mu \left( \frac{\partial u_i}{\partial x_i} + \frac{\partial u_j}{\partial x_i} - \frac{2}{3} \delta_{ij} \frac{\partial u_k}{\partial x_k} \right) \right] \quad (2)$$

$$+ \frac{\partial}{\partial x_i} \left( - \rho \overline{u'_i u'_j} \right).$$

وجود ترم‌های آشفتگی در معادلات نیاز به مدل سازی آشفتگی جریان را آشکار می‌سازد. این تنش‌ها توسط مدل‌های مختلف آشفتگی مدل می‌شوند.  
انرژی:

$$u_i \cdot \frac{\partial T}{\partial x_i} = \frac{\partial}{\partial x_i} (\alpha \cdot \frac{\partial T}{\partial x_i} - \overline{u'_i T'}) \quad . \quad (3)$$

معادله حالت گاز کامل هم جزء معادلات موئر در تحلیل عددی است که ارتباط بین چگالی و دمای گاز را می‌دهد:  
معادله حالت:

$$P = \rho RT \quad . \quad (4)$$

به منظور بستن معادلات ناویر - استوکس، مدل توربولاسی مناسب نیاز است، که در این تحقیق از مدل  $K - \epsilon$ ، الگوریتم RNG استفاده شده است، که به شکل زیر ارائه می‌شود [۵]:

انرژی جنبشی آشفتگی:

$$\rho u_i \frac{\partial K}{\partial x_i} = T_y \frac{\partial u_i}{\partial x_i} - \rho \epsilon + \frac{\partial}{\partial x_i} \left[ \alpha_s \mu_{eff} \frac{\partial K}{\partial x_i} \right] \quad (5)$$

نرخ استهلاک:

$$\rho u_i \frac{\partial \epsilon}{\partial x_i} = c_{s1} \frac{\epsilon}{k} - \tau_y \frac{\partial u_i}{\partial x_i} - c_{s2} \rho \frac{\epsilon^2}{k} + \frac{\partial}{\partial x_i} \left[ \left( \mu + \frac{\mu_T}{\sigma_s} \right) \frac{\partial \epsilon}{\partial x_i} \right] \quad , \quad (6)$$

$$\mu_{eff} = \mu + \mu_T$$

$$\mu_T = \rho c_s \frac{k^2}{\epsilon}$$

از زمان شروع به کار اولین توربین گاز، تلاش در جهت کاهش نشر آلینده آن آغاز شده و روش‌های زیادی تاکنون ابداع شده است. یکی از این روش‌ها پاشش آب یا بخار به محفظه احتراق است، که سالهای زیادی است از آن استفاده می‌شود. شواهد نشان داده است، که مقدار کاهش  $\text{NO}_x$  نسبت به جرم آب یا بخار تزریق شده به جرم سوخت بستگی زیادی دارد. این مسئله توسط Shaw [۱]، Schetter [۲] نشان داده شده است. Liever (Liever) با استفاده از تحلیل CFD کاهش  $\text{NO}_x$  را با استفاده از پاشش آب بررسی کرده و نشان داده است، که با افزایش پاشش آب یا بخار،  $\text{NO}_x$  را تا ۹۴ درصد می‌توان کاهش داد، ولی نشر CO به شدت افزایش می‌یابد.

$\text{NO}_x$  در محفظه احتراق توربین گاز با استفاده از روش  $\text{NO}_x$  سوختی و  $\text{NO}_x$  حرارتی تشکیل می‌شود.  $\text{NO}_x$  سوختی زمانی که نیتروژن موجود در سوخت با اکسیژن واکنش می‌دهد، تشکیل می‌شود.  $\text{NO}_x$  سوختی را می‌توان با کاهش مقدار نیتروژن موجود در سوخت (استفاده از سوخت‌های حاوی نیتروژن کم، مانند گاز طبیعی) یا با کاهش اکسیژن در دسترس در ناحیه احتراقی کنترل کرد.  $\text{NO}_x$  حرارتی هم زمانی که نیتروژن موجود در هوا با اکسیژن واکنش می‌دهد (در نواحی دما بالا) تشکیل می‌شود، که با کاهش اکسیژن موجود در ناحیه احتراقی یا کاهش دمای ناحیه احتراقی کاهش می‌یابد. با پاشش آب یا بخار به محفظه احتراق، آب همانند چاه حرارتی عمل می‌کند و با جذب گرمای ناحیه واکنش، دما را کاهش می‌دهد. با کاهش دما نشر  $\text{NO}_x$  کم می‌شود.

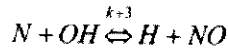
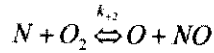
در این مطالعه، به محفظه احتراق مدل شده، بخار تزریق می‌شود. بخار با نسبت‌های بخار به سوخت ۰/۵ و ۱ وارد محفظه می‌شود، تا اثر پاشش بخار بر کاهش  $\text{NO}_x$  با مقایسه حالت‌های بدون پاشش بخار و با پاشش بخار بررسی شود.

## معادلات حاکم بر جریان

به منظور تحلیل عددی مدل مورد نظر، نیاز به حل معادلات متوسط زمانی ممنتم، پیوستگی، انرژی و حالت است [۴]:

پیوستگی:

نسبت جرمی در فاز گازی است.  $S_{NO}$  هم ترم چشمde (source term) است، که برای مکانیزم‌های مختلف تشکیل  $NO_x$  محاسبه می‌شود. نرخ تشکیل  $NO_x$  با استفاده از واکنش‌های زلدویج (Zeldovich) (Zeldovich) محاسبه می‌شود:



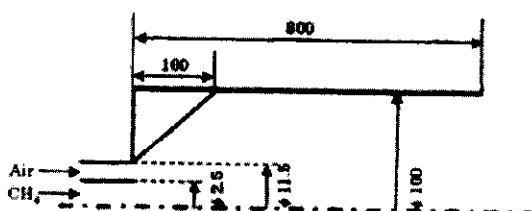
با فرض اینکه نرخ مصرف اتم‌های آزاد نیتروژن مساوی نرخ تولید آن است، غلظت  $NO$  از رابطه زیر به دست می‌آید:

$$\frac{d[NO]}{dt} = 2k_1[O][N_2] \frac{\left(1 - \frac{k_{+1}k_{+2}[NO]^2}{k_1[N_2]k_2[O_2]}\right)}{1 + \frac{k_{+1}[NO]}{(k_2[O_2] + k_3[OH])}}. \quad (9)$$

تنها به غلظت  $O$  و  $OH$  نیاز است تا غلظت  $NO$  بدست آید. فلوئنت به چند روش غلظت این اجزاء را به دست می‌آورد. برای مطالعه بیشتر به مرجع [۷] رجوع شود.

### هندسه و شرایط مسئله

شکل هندسی محفظه احتراق موردنظر در شکل (۱) نشان داده شده است. طول محفظه  $1/8$  متر و قطر آن  $1/2$  متر است. قطر مجرای ورودی سوخت  $1/100$  متر است. هوا هم از مجرایی با قطر خارجی  $1/115$  متر و قطر داخلی  $1/100$  وارد محفظه می‌شود. در ساختن شبکه برای تحلیل جریان، از نرم‌افزار گمبیت (Gambit) نسخه ۱،۱،۲ استفاده شده است.



شکل ۱- شکل هندسی محفظه احتراق.

$$c_{\varepsilon 1} = 1.42 \quad c_{\varepsilon 2} = 1.68 \quad c_{\mu} = 0.845 \quad \alpha_k = \alpha_{\varepsilon} = 1.39$$

$$c_{\varepsilon 1}^* = c_{\varepsilon 1} - \frac{\eta(1 - \frac{\eta}{\eta_0})}{1 + \beta\eta^3}$$

$$\eta = (2E_y \cdot E_{yy})^{1/2} \frac{K}{\varepsilon}$$

$$\eta_0 = 4.377$$

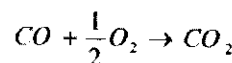
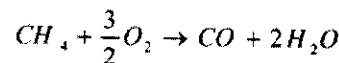
$$\beta = 0.012$$

اثر متقابل توربولانس و واکنش شیمیایی با روش dissipation eddy مدل شده است [۶] که در این مدل نرخ واکنش  $\dot{A}$  مینیمم عبارت‌های زیر است:

$$R'_{f,k} = v'_{f,k} M_f A \rho \frac{\varepsilon}{\kappa} \frac{M_R}{v'_{R,k} M_R} \quad (Y)$$

$$R'_{f,k} = v'_{f,k} M_f AB \rho \frac{\varepsilon}{\kappa} \frac{\sum_p \rho M_p}{\sum_{j'} v'_{j',k} M_{j'}}.$$

واکنش‌های به کار رفته برای سوخت متان به صورت دو مرحله‌ای است:



برای محاسبه میزان نشر  $NO_x$ ، فلوئنت یک معادله انتقال برای غلظت  $NO$  نیز حل می‌کند. فلوئنت، علاوه بر این معادله انتقال، برای  $NO_x$  سوختی نیز، یک معادله انتقال اضافی برای اجزاء واسطه  $HCN$  یا  $NH_3$  (بسته به نوع سوخت) حل می‌کند. معادلات انتقال  $NO_x$  بر پایه‌های داده‌های جریان حل شده، حل می‌شود [۷].

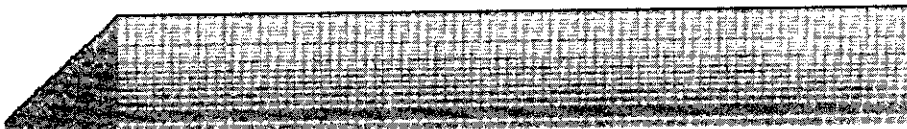
به عبارت دیگر  $NO_x$  یک پس پردازنده از جریان شبیه‌سازی شده است. که حل دقیق و درست جریان احتراقی برای محاسبه مقدار  $NO_x$  بسیار اهمیت دارد. معادله انتقال جرم برای  $NO$  به صورت زیر نوشته می‌شود، که شامل عبارت‌های جابجاگی نفوذی، تولید و مصرف  $NO$  و اجزای مربوطه است [۷]:

$$\frac{\partial}{\partial t} (\rho y_{NO}) + \nabla \cdot (\rho \vec{v} y_{NO}) = \nabla \cdot (\rho D \nabla y_{NO}) + S_{NO}$$

(۸)

شود. شبکه استفاده شده در جهت طولی، عرضی و زاویه‌ای  $50 \times 40 \times 120$  است. مسئله با تعداد شبکه‌های بیشتر هم حل شده است ( $50 \times 140 \times 50$ )، ولی تغییر چندانی در حل دیده نشده است که این موضوع مستقل بودن حل از شبکه را نشان می‌دهد.

شکل (۲) شبکه‌بندی محفظه را نشان می‌دهد. هندسه موردنظر برای شبکه‌بندی به دو ناحیه تقسیم شده است. در واقع چون در کار تجربی، توزیع شعاعی نتایج در  $X = 0/1$  متر داده شده است، نیاز به تعریف خطی در  $X = 0/1$  با شرط مرزی interior مشاهده شده است تا توزیع پارامترها به صورت شعاعی برای مقایسه بر روی این خط نشان داده



شکل ۲- شبکه محاسباتی موردنظر.

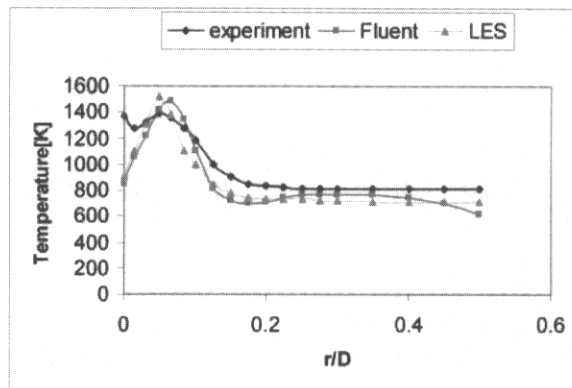
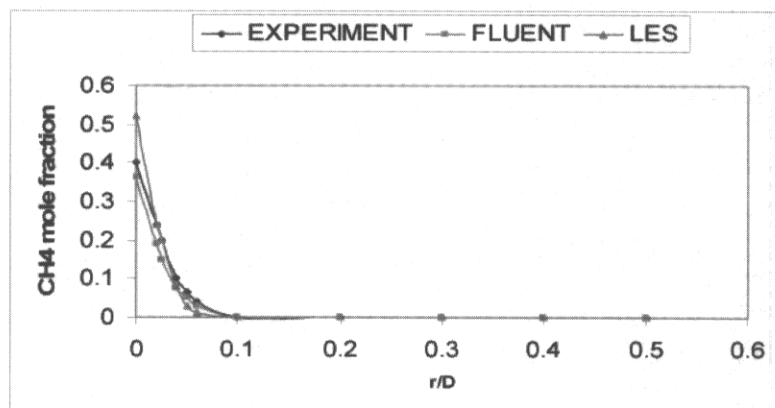
در  $X = 0/1$  در شکل (۳) نشان داده شده است. نتایج کار عددی انجام شده در مرجع (روش LES) و کار عددی انجام شده در این تحقیق و کار تجربی تطبیق خوبی دارد. به جز در مرکز که مطابق با مرجع می‌تواند به دلیل خطای پرپوپ اندازه‌گیری دما در اثر تابش باشد. شکل (۴) توزیع شعاعی نسبت مولی متان را در  $X = 0/1$  نشان می‌دهد که تطبیق قابل قبولی با نتایج عددی دارد. بخار با نسبت‌های بخار به سوخت  $0/5$  و  $1$  به محفظه پاشیده می‌شود. شکل (۵) کانتورهای دما را در سه حالت نسبت بخار به سوخت  $0/5$  و  $1$  نشان می‌دهد. با ورود بخار به محفظه احتراق دمای ماکزیمم کاهش می‌یابد. در واقع بخار همانند چاه حرارتی عمل می‌کند و گرمای محفظه را جذب می‌کند. در نسبت بخار به سوخت صفر دمای ماکزیمم  $1910$  کلوین و در نسبت بخار به سوخت  $0/5$  ماکزیمم دما تا  $1820$  کلوین و در نسبت بخار به سوخت  $1$  تا دمای  $1760$  کلوین کاهش می‌یابد. پاشش بخار باعث تغییر چشمگیر در الگوی جریان (مانند نواحی گردش و نواحی دما یکسان) نمی‌شود.

برای گسته‌سازی عبارت‌های جابجایی معادلات حاکم از طرح بالادستی مرتبه اول و برای تصحیح میدان فشار از الگوریتم سیمپل استفاده شده است [۴].

روش حل عددی بر پایه حجم محدود و شرایط دائمی است [۴]. در ورودی سوخت و هوا و بخار، شرط مرزی سرعت ورودی و در خروجی از محفظه هم، شرط مرزی فشار ثابت استفاده شده است. سرعت سوخت در ورود به محفظه  $54$  متر بر ثانیه و سرعت هوا  $21$  متر بر ثانیه است. دمای سوخت و هوا در ورود  $300$  کلوین است و فشار اتمسفریک است. برای دیواره بالا از شرط انتقال حرارت تابشی و جابجایی (mixed) استفاده شده است. خط مرکزی محور تقارن درنظر گرفته شده است. برای شروع واکنش‌های شیمیایی دمای اولیه را  $2000$  کلوین درنظر می‌گیریم که به این ترتیب جرقه مدل می‌شود [۷].

## نتایج

ابتدا، صحت محفظه احتراق مدل شده با مقایسه نتایج آن با مرجع [۸] تأیید شده است. مدل مورد استفاده در مرجع [۸] توسط فلورنت مدل‌سازی شده است. توزیع شعاعی دما

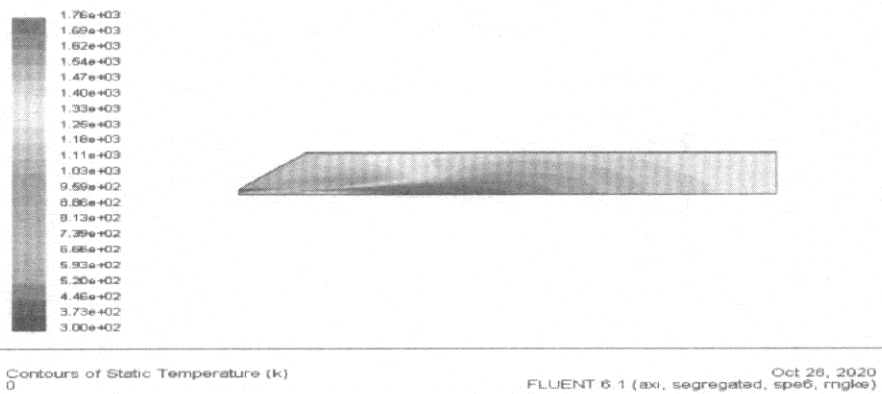
شکل ۳- توزیع شعاعی دما در  $X=0/1$ .

شکل ۴- توزیع شعاعی نسبت مولی متان.

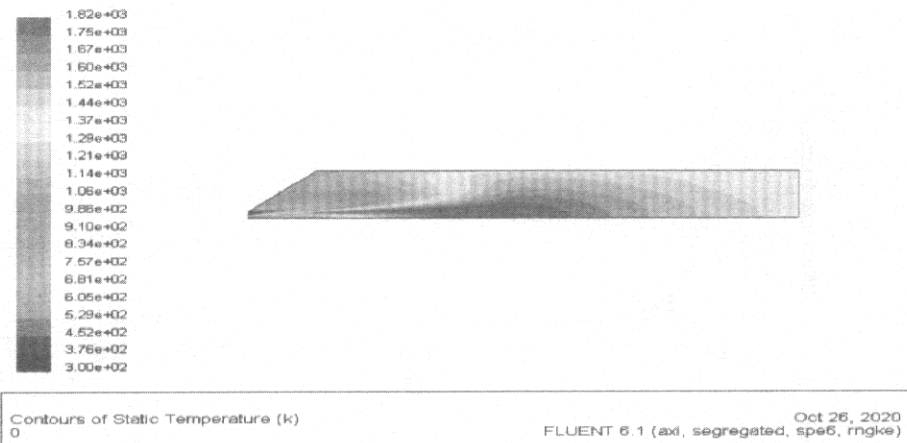
شعله تشکیل شده است. در واقع اساس کار تزریق بخار، کاهش دمای پیک شعله است که در این نمونه بخار با نفوذ به قلب شعله بدون اینکه پایداری شعله را از بین ببرد یا الگوی جریان را تغییر بدهد، دمای شعله را جذب می‌کند، (به دلیل ظرفیت گرمایی بالا) و دمای پیک را کاهش می‌دهد. با جذب گرما و کاهش دما، دیگر انرژی لازم برای شکستن پیوندهای قوی  $N_2$  وجود ندارد.

شکل (۶) کانتور NO را بر حسب ppm نشان می‌دهد. شایان ذکر است که خروجی نرمافزار فلوئنت بر حسب نسبت جرمی یا مولی یا غلظت مولی است و غلظت NO را بر حسب ppm، که در صنعت مرسوم است، نمی‌دهد.تابعی تجربی تعریف شده است، که فلوئنت با استفاده از اینتابع تجربی، مقدار نسبت جرمی یا مولی NO را بر حسب ppm محاسبه کند و آن را نشان دهد.

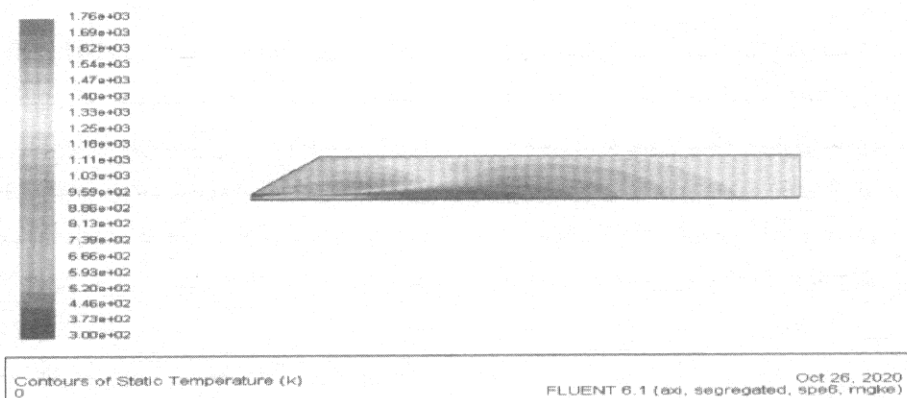
همان‌طور که انتظار می‌رود و در شکل (۶) نیز نشان داده شده است، بیشترین مقدار  $NO_x$  در قسمت‌های دما بالای



(الف)



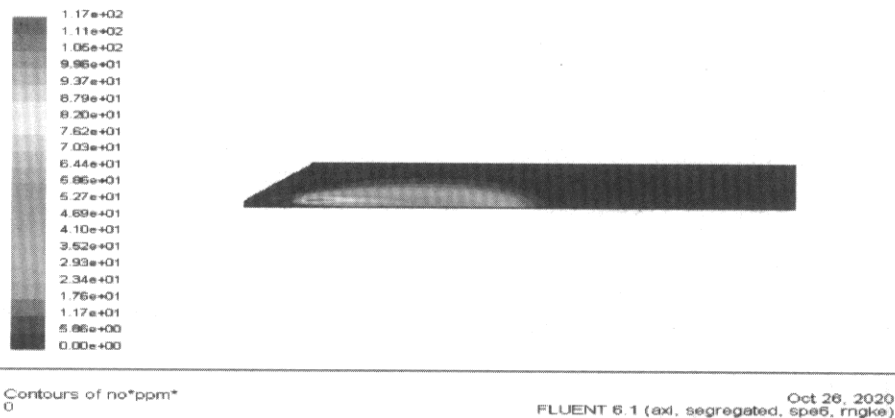
(ب)



(ج)

شکل ۵ - کانتورهای دما برای:

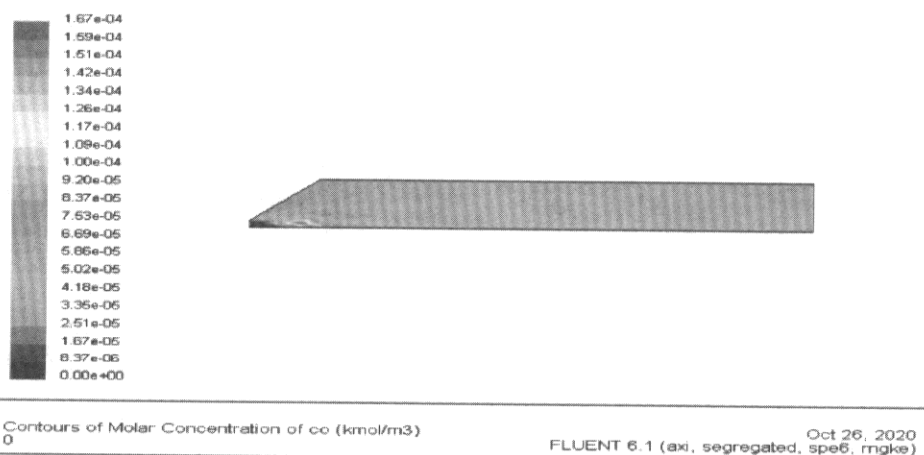
الف) نسبت بخار به سوخت صفر      ب) ۰/۵      ج) ۱



شکل ۶- کانتور NO برای محفظه بدون پاشش بخار.

شکل (۷) کانتور غلظت مولی CO را نشان می‌دهد. CO در نواحی دما پایین شعله تشکیل می‌شود. مطابق شکل، CO عکس NO در ناحیه دما بالای شعله مقدارش مینیمم است. در ابتدای ورودی محفظه احتراق یعنی جایی که ورودی سوخت و هواست، به دلیل اینکه هنوز واکنشی کامل نشده، مقدار CO تقریباً صفر است. در طول شعله نیز در نواحی دما پایین، CO بیشتری تولید می‌شود. چون با کاهش دما اکسیداسیون CO کم می‌شود. با پاشش بخار دمای پیک کاهش می‌یابد و به طور کلی دمای شعله کمتر می‌شود، به دنبال آن نواحی دما پایین هم افزایش می‌یابد بنابراین، نشر CO نیز زیاد می‌شود.

در محفظه بدون پاشش بخار مقدار NO تولیدی ۱۱۷ ppm است. این مقدار تقریباً زیاد است. با پاشش بخار با نسبت ۰/۵ این مقدار ماقزیم به ۴۱ ppm بخار به سوخت می‌رسد و با افزایش نسبت بخار به سوخت تا ۱، مقدار ماقزیم NO به ۲۲/۶ ppm می‌رسد که کاملاً منطقی است. در واقع این کاهش  $\text{NO}_x$  بر حسب دما به صورت نمایی است. نشر NO حرارتی که معمولاً در احتراق‌های دما بالا مکانیزم غالب است، به صورت نمایی با دما ارتباط دارد. با ورود بخار به محفظه با نسبت بخار به سوخت ۰/۵ میزان کاهش  $\text{NO}_x$  تا ۶۵ درصد است و با نسبت بخار به سوخت ۱ این کاهش به ۸۱ درصد هم می‌رسد.



شکل ۷- کانتور های نسبت مولی CO برای محفظه بدون پاشش بخار.

- Industrial Gas Turbine", ASME 98-GT-292, 1998.
- [4] Patankar S.V. "Numerical Heat Transfer and Fluid Flow", Hemisphere, 1980
- [5] Versteeg, H.K. and Malasekera, W. "An Introduction to Computational Fluid Dynamics, The Finite Volume Method", Longman, 1995.
- [6] Magnussen, B.F. and Hjertger B.H. "On Mathematical Model of Turbulence Combustion with Special Emphasis on Soot Formation and Combustion", 16<sup>th</sup> Symp. on Combustion, The Combustion Institute, 1976.
- [7] "Fluent User's Manual", Version 6.1, Fluent Europe LTD, Sheffield, UK.
- [8] Yaga, M., Sasada K., Yamamoto, T., and Aoki, M.T. "An Eddy Characteristic Time Modeling In LES for Gas Turbine Combustors", 2000 the Joint Power Generation Conf. Miami Beach, Florida, USA, pp. 23-26, July 2000.

با پاشش بخار با نسبت بخار به سوخت ۰/۵ حدود ۷۴ درصد نشر CO افزایش می‌یابد و با پاشش بخار با نسبت ۱/۱ حدود ۹۸ درصد افزایش در نشر CO مشاهده می‌شود. کاهش NO<sub>x</sub> در نسبت ۱/۱۶ درصد است، اما میزان افزایش نشر CO تا ۹۸ درصد است. اگرچه می‌توان میزان پاشش آب را افزایش داد تا نشر NO<sub>x</sub> کمتر شود، اما نشر CO بسیار افزایش می‌یابد که این خود یک محدودیت برای پاشش بخار است.

## نتیجه‌گیری

در این تحقیق پاشش بخار به محفظه احتراق با دبی‌های مختلف بررسی شد که برای تأیید صحت نتایج، محفظه مدل شده با محفظه موجود در مرجع مقایسه شده است. سازگاری خوبی بین نتایج مشاهده شد. نتایج مهم عبارتند از:

۱. با پاشش بخار، به محفظه تغییر چشمگیری در الگوی جريان مشاهده نمی‌شود.

۲. ماکریزم نشر NO<sub>x</sub> در نقاط دما بالای شعله است. با افزایش مقدار پاشش بخار، میزان نشر NO<sub>x</sub> کاهش می‌یابد. برای نسبت بخار به سوخت ۱/۱۶ NO<sub>x</sub> تا ۸۴ درصد کاهش می‌یابد.

۳. ماکریزم نشر CO در نقاط دما پایین شعله است. با افزایش مقدار پاشش بخار، میزان نشر CO افزایش می‌یابد. در نسبت بخار به سوخت ۱/۱۶ درصد افزایش در نشر CO وجود دارد.

۴. به دلیل افزایش نشر CO با افزایش دبی بخار ورودی، محدودیت در مقدار بخار پاشیده وجود دارد.

## مراجع

- [1] Shaw, H. "The Effect of Water, Pressure, and Equivalence Ratio on Nitric Oxide Production in Gas Turbine", ASME J. Eng. Power, 96, pp. 240-246, 1974.
- [2] Schetter, B. "Gas Turbine Combustion and Emission Control Combined Cycle for Power Plant", Von Karman Institut, Lecture Series, 1993-08, 1993.
- [3] Liever, P.A., Myers, G.D., and Griffith, T., "CFD Assessment of a Wet, Low-Nox Combustion System for a 3MW-Class